
Soluzioni solitoniche e solitoni gravitazionali

FEDERICO MANZONI
DIPARTIMENTO DI FISICA UNIVERSITÀ LA SAPIENZA
MANZONI.1759892@STUDENTI.UNIROMA1.IT
FEDERICO13.MANZONI97@GMAIL.COM

Abstract: In questo lavoro si intende discutere delle soluzioni solitoniche delle equazioni di campo di Einstein nel vuoto costruendo la soluzione a N solitoni e andandone a studiare alcuni aspetti. In conclusione si mostrerà come il buco nero di Kerr possa essere interpretato come soluzione solitonica nel caso di simmetria assiale.



Indice

1	Introduzione	5
2	Equazioni non lineari e soluzioni solitoniche	7
2.1	Trasformata spettrale e trasformata di Darboux	7
2.2	Il caso della KdV	9
2.2.1	Soluzione ad N solitoni con la trasformata spettrale per la KdV . .	10
2.2.2	Soluzioni solitoniche della KdV con la trasformata di Darboux . . .	11
3	Solitoni gravitazionali	15
3.1	Generalizzazione della trasformata spettrale per teoria della gravitazione e soluzione ad N solitoni	15
3.2	Alcune proprietà dei solitoni gravitazionali	21
3.3	Buco nero di Kerr come doppio solitone gravitazionale	24
A	Espansione multiscala per la KdV	31
B	Verifica soluzioni 3.42	33

Capitolo 1

Introduzione

I solitoni furono per la prima volta osservati nel 1834 dall'ingegnere scozzese John Scott Russell nello Union Canal; successivamente, col passare del tempo, i solitoni furono osservati in altri contesti come, ad esempio, in oceanografia. Per solitone si intende una particolare soluzione di tipo ondoso di equazioni differenziali non lineari in cui l'effetto di dispersione viene esattamente bilanciato dagli effetti di non linearità; come vedremo, un'importante caratteristica delle soluzioni solitoniche è che nella loro interazione esse riemergono invariate se non per uno sfasamento. Con l'intensificarsi della ricerca nel campo della fisica matematica non lineare e sulla teoria dei solitoni, si è scoperto che questa tipologia di soluzione è presente in molte equazioni di grande interesse fisico: dalla meccanica dei fluidi all'ottica non lineare, dalla fisica dei superconduttori alle difetti reticolari dei cristalli, ed in tante altre aree della fisica e non solo¹. In meccanica dei fluidi, l'equazione di Korteweg-de Vries (KdV) descrive le onde superficiali lunghe² nell'approssimazione monodimensionale ed essa ammette soluzioni solitoniche. Nell'ambito dell'ottica non lineare l'equazione di Schroedinger non lineare (NLS) discende dall'equazione di Helmholtz una volta assunto che la variazione dell'indice di rifrazione del materiale sia piccola rispetto all'indice di rifrazione stesso, che essa dipenda solo dall'intensità della luce e che si abbia parassialità. La NLS ammette soluzioni di carattere solitonico. In fisica dei superconduttori e cristallografia l'equazione di sine-Gordon descrive la dinamica, rispettivamente, del flusso magnetico quantizzato in una giunzione Josephson³ e delle dislocazioni dei cristalli; anche l'equazione di sine-Gordon possiede soluzioni di tipo solitonico.

Il metodo principe per la ricerca di soluzioni solitoniche, la trasformata spettrale, sarà discussa nel capitolo 2 assieme alla trasformata di Darboux, un altro importante strumento matematico della teoria dei solitoni che consente di costruire soluzioni di carattere solito-

¹Come, ad esempio, nello studio delle telecomunicazioni e del DNA.

²Per onda lunga si intende che $hk \ll 1$, in cui h è la profondità del fondale e k il numero d'onda dell'onda d'acqua; esempio di onde lunghe sono gli tsunami al largo. Se invece $hk \gg 1$ allora si parla di onde corte.

³La giunzione Josephson è formata da due piastre superconduttrici intermezze da una membrana isolante e si basa sull'effetto tunnel delle coppie di Cooper (stati legati di due elettroni o lacune).

nico conoscendo una soluzione particolare del nostro problema. Questi strumenti saranno poi applicati brevemente al caso della KdV mostrando, in questo caso specifico, alcune considerazioni generali fatte nel paragrafo 2.1. Ci rifaremo principalmente al rifeimento bibliografico [7] ed ai capitoli introduttivi del [4] e del [11].

In questo lavoro ci concentreremo prevalentemente sui solitoni che emergono dalle equazioni di campo di Einstein nel vuoto. Nel capitolo 3 si generalizzerà la trasformata spettrale alla teoria della gravitazione e, oltre a costruire la soluzione a N solitoni e a studiare alcune proprietà dei solitoni gravitazionali, si mostrerà come il buco nero di Kerr possa essere interpretato come una soluzione a doppio solitone gravitazionale. In quest'ultimo capitolo seguiremo il [11].

Notazioni

Si adottano le convenzioni secondo cui

- le derivate sono indicate con delle virgole, ad esempio $f_{i,z,z} = \partial_z^2 f_i = \frac{\partial^2 f_i}{\partial z^2}$;
- la matrice identità sarà indicata come \mathcal{I} ;
- le tracce sono indicate con la lettera maiuscola, ad esempio $R = Tr(\hat{R}) = Tr(R_{\alpha\beta})$;
- Il commutatore si indica come $[\cdot, \cdot]$;
- Gli indici i, j, h sono da intendersi sommati se ripetuti.

Capitolo 2

Equazioni non lineari e soluzioni solitoniche

Come già anticipato nell'introduzione, molte equazioni non lineari di interesse fisico mostrano soluzioni solitoniche. Per prima cosa concentriamoci, quindi, sulla risoluzione delle equazioni non lineari; i metodi che svilupperemo sono la trasformata spettrale e la trasformata di Darboux, i quali saranno discussi nei loro tratti generali e applicati al caso specifico della KdV. Nel primo paragrafo ci rifaremo prevalentemente al capitolo 1 del [11] ed al capitolo introduttivo del [4] mentre nel resto si seguirà il [7].

2.1 Trasformata spettrale e trasformata di Darboux

Il metodo della trasformata spettrale (TS) fu introdotto nel 1967 da Gardner, Greene, Miura e Kruskal [2] per risolvere il problema ai valori iniziali della KdV ed esteso poi ad altre situazioni di interesse, ad esempio come fecero Zakharov e Shabat nel 1972 [8] con la NLS. Il metodo si basa sulla possibilità di scrivere l'equazione in esame come condizione di integrabilità di un associato sistema matriciale di due equazioni differenziali lineari, detto coppia di Lax del problema, e avente la forma

$$\begin{aligned}\psi_{,z} &= \hat{U}\psi, \\ \psi_{,t} &= \hat{V}\psi,\end{aligned}\tag{2.1}$$

in cui ψ , \hat{U} e \hat{V} dipendono da un parametro λ detto parametro spettrale e dalle variabili z e t . Il parametro spettrale soddisfa la condizione di isospettralità¹ $\lambda_{,t} = 0$. La condizione di integrabilità si ottiene come

$$\psi_{,t,z} = \psi_{,z,t} \Rightarrow \hat{V}_{,z}\psi + \hat{V}\psi_{,z} = \hat{U}_{,t}\psi + \hat{U}\psi_{,t} \Rightarrow \hat{V}_{,z}\psi + \hat{V}\hat{U}\psi = \hat{U}_{,t}\psi + \hat{U}\hat{V}\psi,$$

¹Questo si può mostrare in maniera semplice per il caso della KdV, come vedremo in seguito.

da cui segue la relazione operatoriale

$$\hat{V}_{,z} + \hat{V}\hat{U} - \hat{U}_{,t} - \hat{U}\hat{V} = 0 \Rightarrow \hat{V}_{,z} - \hat{U}_{,t} + [\hat{V}, \hat{U}] = 0, \quad (2.2)$$

detta equazione di Lax e corrispondente all'equazione originale del nostro problema di Cauchy.

Immaginiamo che la nostra equazione differenziale non lineare determini la quantità $u(z, t)$ e che sia data la condizione iniziale $u(z, 0)$. Una volta determinata la coppia di Lax appropriata, il problema si divide in due parti: il problema diretto ed il problema inverso. Il problema diretto consiste nell'associare i parametri spettrali, come il coefficiente di trasmissione $T(\lambda)$, di riflessione $R(\lambda)$ e gli elementi discreti λ_n dello spettro, che corrispondono al potenziale $u(z, 0)$; questi parametri spettrali sono indicati, nel loro complesso, con $S(\lambda, 0)$. Il problema inverso consiste, invece, nel ricostruire il potenziale ad un tempo generico, $u(z, t)$, dati i parametri spettrali al tempo t , ottenuti risolvendo il problema spettrale dato dalla coppia di Lax. I parametri spettrali evoluti sono indicati con $S(\lambda, t)$. Ricapitolando, l'idea è quindi quella di non trovare la soluzione $u(z, t)$ direttamente dall'equazione di partenza perchè questa evoluzione è spesso troppo complicata; è preferibile, invece, risolvere il problema spettrale associato, il quale ci fornisce l'evoluzione nel tempo dei parametri spettrali e dai parametri spettrali evoluti si può ottenere la soluzione $u(z, t)$. Il fatto che sia preferibile deriva dalla linearità del problema quando lo si guarda dal punto di vista del problema spettrale; infatti l'evoluzione dei parametri spettrali è data, in definitiva, dalla coppia di Lax, che è un sistema differenziale matriciale ma lineare. Nello schema sottostante è mostrato il metodo della TS.

Dalla Figura 2.1 che segue notiamo un certo grado di analogia con lo schema della trasformata di Fourier: in effetti il metodo della trasformata spettrale è considerabile come una generalizzazione alle equazioni non lineari del metodo di Fourier per le equazioni lineari, e si riduce a questo nel limite di campo piccolo, $|u(z, t)| \ll 1$, e spettro puramente continuo.

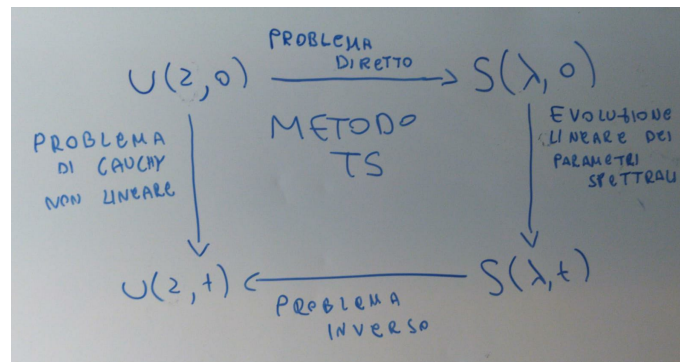


Figura 2.1: Schematizzazione del metodo della trasformata spettrale. Invece di risolvere il problema di Cauchy non lineare si studia l'evoluzione lineare dei parametri spettrali; per risolvere il problema si deve passare per la ricerca di una coppia di Lax appropriata, per il problema diretto e per il problema inverso.

A noi interessano le soluzioni di carattere solitonico, le quali emergono in presenza di un potenziale $u(z, 0)$ corrispondente a $R(\lambda) = 0$; in questo caso il problema inverso è notevolmente semplificato dato che si passa dal dover risolvere un'equazione integrale ad un sistema algebrico. Il metodo TS ci mostra come i solitoni siano intimamente legati agli elementi discreti λ_n dello spettro: per ognuno di essi emerge un solitone; inoltre ogni λ_n è un polo del coefficiente di trasmissione e questo comporta che si hanno tanti solitoni quanti sono i poli di $T(\lambda)$.

Introduciamo, ora, un altro strumento di particolare importanza: la trasformata di Darboux (TD). Per prima cosa è importante sottolineare che la TD è un metodo algebrico; esso consiste nel costruire soluzioni esatte per una equazione non lineare integrabile², partendo dalla conoscenza di una semplice soluzione esatta detta di background, ossia

$$\psi = \hat{\chi}\psi_b; \tag{2.3}$$

la matrice $\hat{\chi}$ è detta matrice di dressing. Ipotizzando una matrice di dressing della forma

$$\hat{\chi} = \mathcal{I} + \sum_{k=1}^N \frac{\hat{O}_k}{\lambda - \lambda_k} \tag{2.4}$$

in cui l'operatore \hat{O} non dipende dal parametro spettrale, si costruisce la soluzione ad N solitoni: una matrice di dressing ad N poli può generare la soluzione a N solitoni.

La TD e la TS sono legate dal fatto che, come si vedrà esplicitamente nel caso della KdV, la TD aggiunge un polo al coefficiente di trasmissione e questo comporta l'aggiunta di un solitone.

2.2 Il caso della KdV

Nel paragrafo precedente si sono delineate le linee generali del metodo della trasformata spettrale e della trasformata di Darboux; in questo paragrafo vogliamo discutere brevemente un esempio importante: la KdV. Prima di tutto, è doveroso sottolineare che la KdV è un'equazione modello, assieme all'equazione di Hopf e all'equazione di Burgers e alla NLS, della fisica matematica non lineare; di fatto queste equazioni si ritrovano applicando l'espansione multiscala a delle classi piuttosto generali di PDE non lineari; con riferimento al [4], in **Appendice A** è riportato il caso della KdV.

²Si intende integrabile col metodo TS. Esiste quindi una coppia di Lax la cui condizione di compatibilità è l'equazione di partenza. Nel caso della KdV, e non solo, questo porta ad un numero infinito di leggi di conservazione. Si veda il [2] o il [4].

2.2.1 Soluzione ad N solitoni con la trasformata spettrale per la KdV

Consideriamo il caso della KdV, che generalmente si scrive come

$$u_{,t} - 6uu_{,z} + u_{,z,z,z} = 0 \quad (2.5)$$

con u funzione di z e t , e applichiamo la TS per derivare la soluzione ad un solitone. La coppia di Lax per la KdV si può scrivere come

$$\begin{aligned} \hat{L}\psi &= (-\partial_z^2 + u)\psi = E\psi, \\ \psi_{,t} &= \hat{M}\psi = (-4\partial_z^3 + 6u\partial_z + 3u_{,z} + c(E))\psi, \end{aligned} \quad (2.6)$$

in cui $c(E)_{,z} = 0$; la condizione di integrabilità per il problema 2.6 restituisce esattamente la 2.5 ed inoltre essa è verificata se e solo se si ha l'isospettralità del problema, ossia $E_{,t} = 0$:

$$\begin{aligned} (\hat{L}\psi)_{,t} &= \hat{L}_{,t}\psi + \hat{L}\psi_{,t} = (\hat{L}_{,t} + \hat{L}\hat{M})\psi = (E\psi)_{,t} = E_{,t}\psi + E\psi_{,t} = \\ &= E_{,t}\psi + E\hat{M}\psi = (E_{,t} + \hat{M}\hat{L})\psi \Rightarrow E_{,t} + \hat{M}\hat{L} = \hat{L}_{,t} + \hat{L}\hat{M} \Rightarrow \\ &\Rightarrow E_{,t} = 0 \Leftrightarrow \hat{L}_{,t} + [\hat{L}, \hat{M}] = 0. \end{aligned} \quad (2.7)$$

Come si vede dalle 2.6 il problema spettrale è quello associato all'equazione di Schrodinger; il problema diretto consiste quindi nell'associare al potenziale $u(z, 0)$ i parametri spettrali dati dall'equazione di Schrodinger. L'evoluzione dei dati spettrali si ottiene sempre dal sistema 2.6: infatti prendendo la derivata rispetto a z della prima equazione si ha

$$-\partial_z^3\psi + u_{,z}\psi + u\psi_{,z} = E\psi_{,z} \Rightarrow \psi_{,z,z,z} = u_{,z}\psi + (u - E)\psi_{,z},$$

che sostituita nella seconda equazione restituisce

$$\begin{aligned} \psi_{,t} &= -4u_{,z}\psi - 4(u - E)\psi_{,z} + 6u\psi_{,z} + 3u_{,z}\psi + c(E)\psi \Rightarrow \\ &\Rightarrow \psi_{,t} = (-u_{,z} + c(E))\psi + (2u + 4E)\psi_{,z}. \end{aligned} \quad (2.8)$$

Il problema inverso invece passa per le proprietà di analicità delle autofunzioni. Definiamo $E = k^2$; per lo spettro discreto si deve avere $E_n < 0$ e quindi $k_n = ip_n$. Il problema inverso ci fornisce la soluzione ad N solitoni, che si ricava dal sistema algebrico di N equazioni

$$(1 + e^{-2p_n(z - 4p_n^2 t - \gamma_n)})f_n(z, t) + \sum_{m=1, \neq n}^N \frac{2p_m e^{-2p_m(z - 4p_m^2 t - \gamma_m)}}{p_m + p_n} f_m(x, t) = 1, n = 1, \dots, N; \quad (2.9)$$

in cui le $f_n(x, t)$ sono le incognite e le γ_n delle costanti che dipendono dai parametri spettrali a $t = 0$, assieme alla

$$u(z, t) = 4\partial_z \left(\sum_{n=1}^N p_n e^{-2p_n(z - 4p_n^2 t - \gamma_n)} f_n(x, t) \right). \quad (2.10)$$

La soluzione del sistema 2.9 si può ricercare con il metodo di Cramer e la 2.10 ci fornisce il risultato finale nella forma

$$u(z, t) = -2\partial_z^2 \ln(\det_N), \quad (2.11)$$

in cui \det_N è il determinante della matrice associata al sistema $N \times N$ (sistema di equazioni 2.9). Ad esempio la soluzione ad un solitone³ è data da

$$u(z, t) = -\frac{2p_1^2}{\cosh^2(p_1(z - 4p_1^2 t - \gamma_1))} = 2E_1 \operatorname{sech}^2(\sqrt{|E_1|}(z + 4E_1 t - \gamma_1)); \quad (2.12)$$

la soluzione è quindi esponenzialmente localizzata con ampiezza e velocità proporzionali a p_1^2 e quindi all'autovalore E_1 .

Partendo dalla 2.11 è possibile mostrare che, nell'interazione tra N solitoni, l' n -esimo solitone non cambia la propria forma ma sperimenta uno shift pari a

$$\delta x_n = -\frac{1}{p_n} \left\{ \prod_{j=1}^{n-1} \ln \left(\left| \frac{p_n + p_j}{p_n - p_j} \right| \right) - \prod_{j=n+1}^N \ln \left(\left| \frac{p_n + p_j}{p_n - p_j} \right| \right) \right\}. \quad (2.13)$$

2.2.2 Soluzioni solitoniche della KdV con la trasformata di Darboux

In questa sezione mostreremo, nel caso specifico della KdV, che i poli del coefficiente di trasmissione sono gli elementi discreti dello spettro del problema spettrale associato e che la TD agisce aggiungendo poli al coefficiente di trasmissione e quindi solitoni alla soluzione di background.

Cerchiamo una TD della forma

$$\psi = \hat{\chi} \psi_b, \quad (2.14)$$

con $\psi = \begin{pmatrix} \psi \\ \psi_{,z} \end{pmatrix}$, $\psi_b = \begin{pmatrix} \psi_b \\ \psi_{b,z} \end{pmatrix}$ e $\hat{\chi} = \begin{pmatrix} A & B \\ C & D \end{pmatrix}$.

Esplicitando la prima equazione del sistema 2.14, derivandola due volte rispetto a z , imponendo che A e B non dipendano da k^2 , passando per l'equazione di Riccati ridotta all'equazione di Schroedinger dalla trasformazione $A = -\frac{\phi_{,z}}{\phi}$, si ottengono le trasformazioni di Darboux per la KdV

$$u(z, t) = u_b(z, t) - 2 \left(\frac{\phi_{,z}}{\phi} \right)_{,z}, \quad \psi(z, k, t) = \psi_{b,z}(z, k, t) - \frac{\phi_{,z}}{\phi} \psi_b(z, k, t), \quad (2.15)$$

in cui ϕ è soluzione dell'equazione di Schroedinger $\phi_{,z,z} = (u_b - k^2)\psi$. Si può mostrare che scegliendo la soluzione di background nulla e prendendo la soluzione $\phi = c_1 e^{p(z - 4p^2 t)} +$

³È interessante notare il fatto che la soluzione ad un solitone si può ricavare direttamente per quadrature dalla KdV.

$c_2^{-p(z-4p^2t)}$ per $k = ip$, con la giusta scelta delle costanti c_1 e c_2 si riottiene la soluzione 2.12.

Consideriamo una soluzione di background generica $u_b(z, t)$ e scegliamo come $\psi_b(z, t)$ l'autofunzione di Jost definita come

$$\begin{cases} J_b(z, k, t) \simeq e^{-ikz} & \text{per } z \simeq -\infty \\ J_b(z, k, t) \simeq a_b(k)e^{-ikz} + b_b(k)e^{ikz} & \text{per } z \simeq +\infty \end{cases}, \quad (2.16)$$

e sia ϕ la corrispondente soluzione della coppia di Lax per $k = ip$ con la proprietà che

$$\phi \simeq \alpha_{\pm} e^{-pz} + \beta_{\pm} e^{pz}, \quad \text{per } z \simeq \pm\infty,$$

allora segue, sempre per $z \simeq \pm\infty$,

$$\frac{\phi_{,z}}{\phi} = \frac{-p\alpha_{\pm} e^{-pz} + p\beta_{\pm} e^{pz}}{\alpha_{\pm} e^{-pz} + \beta_{\pm} e^{pz}} \simeq \pm p. \quad (2.17)$$

Usando la 2.16 e la 2.17 nella seconda delle 2.15 si ottiene a $z \simeq -\infty$

$$\psi(z, k, t) \simeq -ike^{-ikz} - pe^{-ikz} = -i(k + ip)e^{-ikz}. \quad (2.18)$$

Sia $J(z, k, t)$ l'autofunzione di Jost corrispondente al potenziale $u(z, t)$, definita in maniera analoga a $J_b(z, k, t)$, ossia

$$\begin{cases} J(z, k, t) \simeq e^{-ikz} & \text{per } z \simeq -\infty \\ J(z, k, t) \simeq a(k)e^{-ikz} + b(k)e^{ikz} & \text{per } z \simeq +\infty \end{cases}; \quad (2.19)$$

dalla 2.18, 2.19, dalla seconda delle 2.15 e dalle 2.16 si ha

$$\psi(z, k, t) \simeq -i(k + ip)J(z, k, t) \Rightarrow J(z, k, t) = \frac{1}{-i(k + ip)} \left(J_{b,z}(z, k, t) - \frac{\phi_{,z}}{\phi} J_b(z, k, t) \right) \quad (2.20)$$

e da questa, grazie alle 2.16 e alla 2.17, segue immediatamente che per $z \simeq \infty$

$$\begin{aligned} J(z, k, t) &\simeq \frac{i}{k + ip} \left(-ik(a_b(k)e^{-ikz} - b_b(k)e^{ikz}) - p(a_b(k)e^{-ikz} + b_b(k)e^{ikz}) \right) = \\ &= \frac{i}{k + ip} \left(a_b(k)e^{-ikz}(-ik - p) + b_b(k)e^{ikz}(ik - p) \right) = \\ &= \frac{k - ip}{k + ip} a_b(k)e^{-ikz} + \frac{-k - ip}{k + ip} b_b(k)e^{ikz} = \frac{k - ip}{k + ip} a_b(k)e^{-ikz} - b_b(k)e^{ikz}, \end{aligned} \quad (2.21)$$

che però deve essere uguale alla 2.19, in definitiva

$$a(k) = \frac{k - ip}{k + ip} a_b(k), \quad b(k) = -b_b(k). \quad (2.22)$$

Poichè in generale, gli $a(k)$ e i $b(k)$ sono legati ai coefficienti di trasmissione e riflessione dalle

$$T(k) = \frac{1}{a(k)}, \quad R(k) = \frac{b(k)}{a(k)}, \quad (2.23)$$

concludiamo che

$$T(k) = \frac{k + ip}{k - ip} T_b(k), \quad R(k) = -R_b(k); \quad (2.24)$$

la trasformata di Darboux aggiunge un polo posto in $k = ip$ al coefficiente di trasmissione e quindi uno zero ad $a(k)$. Consideriamo quindi lo zero $k = ip := k_0$; poichè $|a(k)|^2 - |b(k)|^2 = 1$ e $a(k)$ è analitico nel semipiano superiore, si ha $Im(k_0) > 0$ e quindi $p > 0$. Dalla definizione della funzione di Jost segue⁴ che

$$\begin{cases} J(z, k_0, t) \simeq e^{-ik_0 z} = e^{pz} \rightarrow 0 & \text{per } z \rightarrow -\infty; \\ J(z, k_0, t) \simeq a(k_0)e^{-ik_0 z} + b(k_0)e^{ik_0 z} = b(k_0)e^{-pz} \rightarrow 0 & \text{per } z \rightarrow +\infty; \end{cases} \quad (2.25)$$

ossia funzioni normalizzabili che quindi corrispondono ad autovalori discreti: i poli del coefficiente di trasmissione sono elementi discreti dello spettro.

I due risultati ottenuti ci permettono di concludere che la TD aggiunge solitoni alla soluzione di background.

⁴Si veda, ad esempio, la 2.19.



Capitolo 3

Solitoni gravitazionali

In questo capitolo volgiamo lo sguardo alle soluzioni solitoniche delle equazioni di Einstein nel vuoto: i solitoni gravitazionali. L'applicazione e l'ampliamento della tecnica TS alla relatività generale inizia alla fine degli anni '70 grazie ai lavori di Belinski, Zakharov e Maison [3][9][10] e prosegue con l'estensione nel contesto delle equazioni di Maxwell-Einstein da parte di Alekseev [1] nei primi anni '80.

I solitoni gravitazionali possiedono delle proprietà interessanti, alcune di queste saranno discusse nel paragrafo 3.2 e seguiremo il capitolo 2 del [11]. Nell'ultima sezione, con riferimento al capitolo 8 del [11], si discuterà come il buco nero di Kerr possa interpretarsi come soluzione a due solitoni delle equazioni di campo in presenza di simmetria assiale.

3.1 Generalizzazione della trasformata spettrale per teoria della gravitazione e soluzione ad N solitoni

Cominciamo con l'inquadrare il problema. Le equazioni di campo si scrivono

$$E_{\mu\nu} = \frac{8\pi G}{c^4} T_{\mu\nu}, \quad (3.1)$$

il tensore $E_{\mu\nu}$ è chiamato tensore di Einstein ed è definito come $E_{\mu\nu} := R_{\mu\nu} - \frac{1}{2}g_{\mu\nu}R$ in cui $R_{\mu\nu}$ è il tensore di Ricci e $T_{\mu\nu}$ è il tensore energia-impulso della sorgente di campo gravitazionale.

La traccia del tensore di Einstein restituisce $E = -R$ e, per la 3.1, si ha $R = -\frac{8\pi G}{c^4}T$ e utilizzando ancora la 3.1

$$E_{\mu\nu} = R_{\mu\nu} + \frac{1}{2}g_{\mu\nu}\frac{8\pi G}{c^4}T = \frac{8\pi G}{c^4}T_{\mu\nu} \Rightarrow R_{\mu\nu} = \frac{8\pi G}{c^4}\left(T_{\mu\nu} - \frac{1}{2}g_{\mu\nu}T\right); \quad (3.2)$$

nel vuoto il tensore energia impulso è identicamente nullo e le equazioni di campo possono esprimersi come

$$R_{\mu\nu} = 0. \quad (3.3)$$

Esse sono un sistema di equazioni differenziali per le 10 componenti indipendenti della metrica e rappresentano il nostro problema di partenza¹. Da qui in avanti si utilizzeranno le unità geometriche in cui $c = G = 1$.

Il metodo della TS, definito nelle sue linee generali nel capitolo 2, è applicabile solo quando la funzione incognita dipende da due variabili; in generale, però, la metrica dipende dalle tre coordinate spaziali e dalla coordinata temporale. Assumiamo quindi che lo spazio-tempo ammetta due campi vettoriali di Killing di tipo spazio che ci consentono di eliminare la dipendenza da due variabili spaziali²: x^1 ed x^2 . Con questa scelta la metrica dipende solo da $x^0 = t$ e $x^3 = z$. Per semplificare ulteriormente il problema ci rifacciamo alla simmetria di gauge della relatività generale: la simmetria sotto diffeomorfismi. Nello spazio tempo quadridimensionale questa simmetria ci permette di imporre 4 condizioni sulla metrica senza perdita di generalità: noi imporremo che

$$g_{00} = -g_{33}, \quad g_{03} = 0, \quad g_{0i} = 0, \quad (3.4)$$

in cui $i = 1, 2$.

Sotto queste ipotesi l'intervallo spazio-temporale si scrive come

$$ds^2 = g_{\mu\nu} dx^\mu dx^\nu = g_{00}(dt^2 - dz^2) + g_{ij} dx^i dx^j + 2g_{i3} dx^i dz, \quad (3.5)$$

in cui, da qui fino alla fine del paragrafo 3.2, $i, j = 1, 2$ (più avanti sarà introdotto l'indice h , anch'esso corre su 1 e 2). Non è ancora noto come applicare la TS alla metrica 3.5: occorre un'ulteriore semplificazione. Poichè abbiamo esaurito la nostra libertà di manipolare la metrica senza perdita di generalità, dobbiamo imporre come condizione fisica che $g_{i3} = 0$; questo ci consente di scrivere

$$ds^2 = g_{00}(dt^2 - dz^2) + g_{ij} dx^i dx^j. \quad (3.6)$$

Notiamo che se avessimo scelto i campi di Killing uno di tipo spazio ed uno di tipo tempo avremmo ottenuto una metrica analoga alla 3.6 ma stazionaria, in cui le variabili indipendenti sarebbero state entrambe di tipo spazio; questo caso sarà considerato nel paragrafo 3.3 per derivare la metrica di Kerr.

¹Assumiamo di essere in uno spazio-tempo quadridimensionale.

²Dato un certo campo vettoriale, $\vec{\xi}(x^\mu)$, esso identificherà una simmetria se e solo se soddisfa l'equazione di Killing:

$$g_{\mu\nu,\rho} \xi^\rho + g_{\beta\nu} \xi^\beta_{,\mu} + g_{\mu\beta} \xi^\beta_{,\nu} = 0.$$

Consideriamo di avere un campo di Killing di tipo tempo, $\vec{\xi}$, allora potremmo scegliere come sistema di coordinate uno in cui il vettore di base di tipo tempo, $\vec{e}_{(0)}$, sia in ogni punto allineato al campo $\vec{\xi}$. In questo riferimento le componenti del campo vettoriale sono $\xi^\alpha = (\xi^0, 0, 0, 0)$ e se parametrizziamo la curva a cui il campo vettoriale è associato in maniera tale che risulti $\xi^0 = 1$ allora la metrica, grazie all'equazione di Killing, è indipendente dal tempo e quindi stazionaria (tutte le derivate di ξ^α sono nulle e la sua unica componente diversa da zero è quella temporale). Un ragionamento analogo si può fare nel caso di campo di Killing di tipo spazio o di tipo luce.

Chiamiamo \hat{g} il blocco 2×2 della metrica con componenti g_{ij} e poniamo $\det(\hat{g}) = \alpha^2$; le equazioni 3.3 per la metrica 3.6 si dividono in due set che, passando alle coordinate del cono luce introdotte mediante $\zeta := \frac{1}{2}(z+t)$ e $\eta := \frac{1}{2}(z-t)$, assumono la forma

$$\begin{aligned} (\alpha \hat{g}_{,\zeta} \hat{g}^{-1})_{,\eta} + (\alpha \hat{g}_{,\eta} \hat{g}^{-1})_{,\zeta} &= 0; \\ (\ln(g_{00}))_{,\zeta} (\ln(\alpha))_{,\zeta} &= (\ln(\alpha))_{,\zeta \zeta} + \frac{A^2}{4\alpha^2}, \quad (\ln(g_{00}))_{,\eta} (\ln(\alpha))_{,\eta} = (\ln(\alpha))_{,\eta \eta} + \frac{B^2}{4\alpha^2}, \end{aligned} \quad (3.7)$$

in cui $\hat{A} := -\alpha \hat{g}_{,\zeta} \hat{g}^{-1}$ e $\hat{B} := \alpha \hat{g}_{,\eta} \hat{g}^{-1}$. La prima delle equazioni 3.7 ci fornisce il blocco 2×2 e le seconde g_{00} , una volta data \hat{g} . Notiamo anche che prendendo la traccia della prima equazione e facendo uso del fatto che $\det(\hat{g}) = \alpha^2$ si ottiene

$$\alpha_{,\zeta \eta} = 0; \quad (3.8)$$

la radice del determinante soddisfa l'equazione delle onde³.

La prima delle 3.7 è un'equazione del secondo ordine ed è quindi equivalente ad un sistema di due equazioni del primo ordine. Queste due equazioni sono ottenibili direttamente dalle definizioni di \hat{A} e \hat{B} : per la prima è sufficiente sostituire le definizioni nella prima delle 3.7; la seconda è invece la condizione di integrabilità tra \hat{A} e \hat{B} rispetto a \hat{g} , ossia

$$\begin{aligned} \hat{B}_{,\zeta} - \hat{A}_{,\eta} &= 0; \\ \hat{A}_{,\eta} + \hat{B}_{,\zeta} + \alpha^{-1}[\hat{A}, \hat{B}] - \alpha_{,\eta} \alpha^{-1} \hat{A} - \alpha_{,\zeta} \alpha^{-1} \hat{B} &= 0. \end{aligned} \quad (3.9)$$

Le 3.9 sono solo una riscrittura delle equazioni di campo 3.3.

Il prossimo passo è la ricerca di una coppia di Lax appropriata che definisca il problema spettrale e che dipenda quindi da un parametro complesso: il parametro spettrale λ . A tale scopo definiamo gli operatori

$$\hat{D}_- := \partial_\zeta - \frac{2\alpha_{,\zeta} \lambda}{\lambda - \alpha} \partial_\lambda, \quad \hat{D}_+ := \partial_\eta + \frac{2\alpha_{,\eta} \lambda}{\lambda + \alpha} \partial_\lambda \quad (3.10)$$

e consideriamo il seguente sistema di equazioni

$$\begin{aligned} \hat{D}_- \psi &= \frac{\hat{A}}{\lambda - \alpha} \psi, \\ \hat{D}_+ \psi &= \frac{\hat{B}}{\lambda + \alpha} \psi, \end{aligned} \quad (3.11)$$

in cui $\psi = \psi(\zeta, \eta, \lambda)$ è detta matrice generatrice; per $\lambda = 0$ il sistema si riduce a

$$\begin{aligned} \psi_{,\zeta}(\zeta, \eta, 0) &= -\frac{\hat{A}}{\alpha} \psi(\zeta, \eta, 0) \Rightarrow \hat{A} = -\alpha \psi_{,\zeta}(\zeta, \eta, 0) \psi^{-1}(\zeta, \eta, 0); \\ \psi_{,\eta}(\zeta, \eta, 0) &= \frac{\hat{B}}{\alpha} \psi(\zeta, \eta, 0) \Rightarrow \hat{B} = \alpha \psi_{,\eta}(\zeta, \eta, 0) \psi^{-1}(\zeta, \eta, 0) \end{aligned} \quad (3.12)$$

³Date le definizioni $\zeta := \frac{1}{2}(z+t)$ e $\eta := \frac{1}{2}(z-t)$ si ha $\alpha_{,\zeta \eta} = \frac{1}{4}[(\partial_z + \partial_t)(\partial_z - \partial_t)]\alpha = \frac{1}{4}(\partial_z^2 - \partial_t^2)\alpha = 0 \Rightarrow (\partial_z^2 - \partial_t^2)\alpha = 0$.

e, confrontato con le definizioni di \hat{A} e \hat{B} , ci permette di concludere che il blocco 2×2 altro non è che la matrice generatrice valutata per $\lambda = 0$:

$$\hat{g}(\zeta, \eta) = \boldsymbol{\psi}(\zeta, \eta, 0). \quad (3.13)$$

Sappiamo che per la procedura di integrazione è necessaria la conoscenza di una soluzione di background⁴ \hat{g}_b dalla quale, grazie alle definizioni di \hat{A} e \hat{B} si ottengono le matrici \hat{A}_b e \hat{B}_b che sostituite nel sistema 3.11 permettono di ottenere la matrice generatrice di background $\boldsymbol{\psi}_b$. Operiamo, quindi, una trasformata di Darboux della forma

$$\boldsymbol{\psi} = \hat{\chi} \boldsymbol{\psi}_b \quad (3.14)$$

che sostituita nel sistema 3.11 restituisce un sistema di equazioni per la matrice di dressing

$$\begin{aligned} \hat{D}_- \hat{\chi} &= \frac{(\hat{A} \hat{\chi} - \hat{\chi} \hat{A}_b)}{\lambda - \alpha}; \\ \hat{D}_+ \hat{\chi} &= \frac{(\hat{B} \hat{\chi} - \hat{\chi} \hat{B}_b)}{\lambda + \alpha}. \end{aligned} \quad (3.15)$$

Mettendo assieme la 3.13 e la 3.14 vediamo che

$$\hat{g}(\zeta, \eta) = \boldsymbol{\psi}(\zeta, \eta, 0) = \hat{\chi}(\zeta, \eta, 0) \boldsymbol{\psi}_b(\zeta, \eta, 0) = \hat{\chi}(\zeta, \eta, 0) \hat{g}_b(\zeta, \eta); \quad (3.16)$$

a questo punto è importante ricordare che la metrica è reale e simmetrica; questo implica il dover imporre delle condizioni per la matrice di dressing⁵ e la matrice generatrice al fine di rispettare le proprietà della metrica; queste condizioni si esplicitano come

$$\hat{\chi}^*(\zeta, \eta, \lambda^*) = \hat{\chi}(\zeta, \eta, \lambda), \quad \boldsymbol{\psi}^*(\zeta, \eta, \lambda^*) = \boldsymbol{\psi}(\zeta, \eta, \lambda), \quad \hat{g} = \hat{\chi}(\zeta, \eta, \lambda) \hat{g}_b \hat{\chi}^T(\zeta, \eta, \alpha^2/\lambda). \quad (3.17)$$

Sottolineiamo che, per il momento, non si è imposta la condizione $\det(\hat{g}) = \alpha^2$; in realtà è conveniente procedere non imponendo la suddetta condizione per poi ottenere la soluzione che la soddisfa dalla relazione

$$\hat{g}^{(f)} = \alpha \frac{\hat{g}}{\sqrt{\det(\hat{g})}}, \quad (3.18)$$

in cui l'apice (f) sottolinea che questa è la soluzione che rispetta tutte le proprietà fisiche della metrica: la soluzione fisica. Ovviamente, la 3.18 comporta una trasformazione delle matrici \hat{A} e \hat{B} che si ripercuote in nuove equazioni per la componente g_{00} che restituiranno la componente fisica, $g_{00}^{(f)}$.

⁴Soluzione della prima delle equazioni 3.7.

⁵Per la matrice si sceglie la normalizzazione tale che $\hat{\chi}(\zeta, \eta, \lambda) = \mathcal{I}$ quando $|\lambda| \rightarrow \infty$.

Procediamo quindi discutendo la costruzione della soluzione ad N solitoni. Tale soluzione emerge imponendo una dipendenza razionale della matrice di dressing dal parametro spettrale con un numero finito di poli semplici

$$\hat{\chi} = \mathcal{I} + \sum_{k=1}^N \frac{\hat{O}_k}{\lambda - \lambda_k}, \quad (3.19)$$

in cui \hat{O}_k non dipende dal parametro spettrale; dalla condizione di realt  della matrice \hat{g} , e quindi dalla prima delle 3.17, segue che i poli o sono reali o appaiono come coppie di complessi coniugati. La soluzione finale   data dalla 3.16 per cui

$$\hat{g}(\zeta, \eta) = \left(\mathcal{I} - \sum_{k=1}^N \frac{\hat{O}_k}{\lambda_k} \right) \hat{g}_b(\zeta, \eta); \quad (3.20)$$

resta quindi da determinare la matrice \hat{O}_k . Per tale scopo si sostituisce la scrittura 3.19 nel sistema 3.15 e si impone che le equazioni siano soddisfatte al polo; queste equazioni ci forniscono due informazioni importanti.

La prima si ottiene notando che gli operatori \hat{D}_- e \hat{D}_+ contengono derivazioni rispetto a ζ , η e λ e che, quando applicati alla parte non banale della matrice di dressing, producono termini contenenti poli doppi, termini che al secondo membro non sono presenti:   necessario che i coefficienti dei poli doppi si annullino. Infatti andando a studiare solo il k -esimo termine per linearit  si ha⁶

$$\begin{aligned} \left(\partial_\zeta - \frac{2\alpha_{,\zeta}\lambda}{\lambda - \alpha} \partial_\lambda \right) \frac{\hat{O}_k}{\lambda - \lambda_k} &= \frac{\hat{O}_{k,\zeta}}{\lambda - \lambda_k} + \hat{O}_k \left(\frac{-\lambda_{,\zeta}}{(\lambda - \lambda_k)^2} \right) - \frac{2\alpha_{,\zeta}\lambda}{\lambda - \alpha} \frac{\hat{O}_k}{(\lambda - \lambda_k)^2}; \\ \left(\partial_\eta + \frac{2\alpha_{,\eta}\lambda}{\lambda + \alpha} \partial_\lambda \right) \frac{\hat{O}_k}{\lambda - \lambda_k} &= \frac{\hat{O}_{k,\eta}}{\lambda - \lambda_k} + \hat{O}_k \left(\frac{-\lambda_{,\eta}}{(\lambda - \lambda_k)^2} \right) + \frac{2\alpha_{,\eta}\lambda}{\lambda + \alpha} \frac{\hat{O}_k}{(\lambda - \lambda_k)^2}; \end{aligned} \quad (3.21)$$

annullando i coefficienti dei poli doppi calcolati sui poli si ha

$$\begin{aligned} \left(-\lambda_{,\zeta} - \frac{2\alpha_{,\zeta}\lambda}{\lambda - \alpha} \right) \Big|_{\lambda=\lambda_k} &= 0 \Rightarrow \lambda_{k,\zeta} = \frac{2\alpha_{,\zeta}\lambda_k}{\alpha - \lambda_k}; \\ \left(-\lambda_{,\eta} + \frac{2\alpha_{,\eta}\lambda}{\lambda + \alpha} \right) \Big|_{\lambda=\lambda_k} &= 0 \Rightarrow \lambda_{k,\eta} = \frac{2\alpha_{,\eta}\lambda_k}{\alpha + \lambda_k}; \end{aligned} \quad (3.22)$$

le 3.22 determinano le traiettorie dei poli: i poli non sono fissi ma si muovono nello spazio-tempo.

Per la seconda informazione   necessario lavorare un po' di pi . Notando che \hat{O}_k e $\hat{\chi}^{-1}(\lambda_k)$ sono matrici degeneri⁷, allora possiamo scriverle come

$$(\hat{O}_k)_{ij} = n_i^{(k)} m_j^{(k)}, \quad (\hat{\chi}_k^{-1}(\lambda_k))_{ij} = q_i^{(k)} p_j^{(k)}; \quad (3.23)$$

⁶Si ricordi che \hat{O}_k non dipende da λ .

⁷Questa conclusione si vede partendo dalla relazione $\hat{\chi}\hat{\chi}^{-1} = \mathcal{I}$. Infatti la matrice identit  non possiede poli mentre il lato sinistro d  luogo al termine $\sum_{k=1}^N \frac{\hat{O}_k \hat{\chi}^{-1}}{\lambda - \lambda_k}$ che contiene dei poli semplici: il residuo deve essere nullo e quindi $\hat{O}_k \hat{\chi}^{-1}(\lambda_k) = 0$, da cui segue la degenerazione.

riscriviamo le equazioni 3.15 moltiplicandole da destra per $\hat{\chi}^{-1}$

$$\begin{aligned}\frac{\hat{A}}{\lambda - \alpha} &= (\hat{D}_- \hat{\chi}) \hat{\chi}^{-1} + \hat{\chi} \frac{\hat{A}_b}{\lambda - \alpha} \hat{\chi}^{-1}, \\ \frac{\hat{B}}{\lambda + \alpha} &= (\hat{D}_+ \hat{\chi}) \hat{\chi}^{-1} + \hat{\chi} \frac{\hat{B}_b}{\lambda + \alpha} \hat{\chi}^{-1};\end{aligned}\tag{3.24}$$

poichè i lati sinistri delle equazioni 3.24 sono regolari ai poli $\lambda = \lambda_k$, segue che i residui dei poli nei secondi membri devono essere nulli, il che porta alle equazioni

$$\begin{aligned}\hat{O}_{k,\zeta} \hat{\chi}^{-1}(\lambda_k) + \hat{O}_k \frac{\hat{A}_b}{\lambda_k - \alpha} \hat{\chi}^{-1}(\lambda_k) &= 0, \\ \hat{O}_{k,\eta} \hat{\chi}^{-1}(\lambda_k) + \hat{O}_k \frac{\hat{B}_b}{\lambda_k + \alpha} \hat{\chi}^{-1}(\lambda_k) &= 0.\end{aligned}\tag{3.25}$$

Inserendo le 3.23 nelle equazioni 3.25 si ottengono le equazioni che determinano i vettori $m_i^{(k)}$:

$$\begin{aligned}\left(m_{i,\zeta}^{(k)} + m_j^{(k)} \frac{(\hat{A}_b)_{ij}}{\lambda_k - \alpha} \right) q_i^{(k)} &= 0, \\ \left(m_{i,\eta}^{(k)} + m_j^{(k)} \frac{(\hat{B}_b)_{ij}}{\lambda_k + \alpha} \right) q_i^{(k)} &= 0,\end{aligned}\tag{3.26}$$

la cui soluzione è data da

$$m_i^{(k)} = m_{0j}^{(k)} (\psi_b^{-1}(\lambda_k, \zeta, \eta))_{ji}\tag{3.27}$$

in cui gli $m_{0j}^{(k)}$ sono arbitrari vettori costanti complessi. Per determinare gli $n_i^{(k)}$ si sfrutta la terza condizione delle 3.17, che permette, in definitiva, di scrivere i vettori $n_i^{(k)}$ come

$$n_i^{(k)} = \sum_{l=1}^N \frac{1}{\lambda_l} (\hat{\Pi})_{kl} L_i^{(l)},\tag{3.28}$$

in cui $L_i^{(l)} := m_j^{(l)} (\hat{g}_b)_{ji}$ e $(\hat{\Pi})_{kl} := (\hat{\Gamma}^{-1})_{kl}$ con $(\hat{\Gamma})_{kl} := -m_i^{(k)} m_j^{(l)} (\hat{g}_b)_{ij} (\alpha^2 - \lambda_k \lambda_l)^{-1}$.

Dalla 3.20, usando la prima delle 3.23 e la 3.28 si ha⁸

$$\begin{aligned}(\hat{g})_{ij} &= (\hat{g}_b)_{ij} - \sum_{k=1}^N \frac{(\hat{O}_k)_{ih}}{\lambda_k} (\hat{g}_b)_{hj} = (\hat{g}_b)_{ij} - \sum_{k=1}^N \frac{1}{\lambda_k} n_i^{(k)} m_h^{(k)} (\hat{g}_b)_{hj} = \\ &= (\hat{g}_b)_{ij} - \sum_{k=1}^N \sum_{l=1}^N \frac{1}{\lambda_k} \frac{1}{\lambda_l} (\hat{\Pi})_{kl} L_i^{(l)} \underbrace{m_h^{(k)} (\hat{g}_b)_{hj}}_{=L_j^{(k)}} = (\hat{g}_b)_{ij} - \sum_{k=1}^N \sum_{l=1}^N \frac{1}{\lambda_k} \frac{1}{\lambda_l} (\hat{\Pi})_{kl} L_i^{(l)} L_j^{(k)};\end{aligned}\tag{3.29}$$

⁸Si ricordi anche che la metrica è simmetrica.

va sottolineato, tuttavia, che la soluzione 3.29 non è la soluzione fisica: in altri termini non è la soluzione soddisfacente la richiesta di $\det(\hat{g}) = \alpha^2$. Per ottenere la soluzione fisica ci rifacciamo alla 3.18; il calcolo del determinante di \hat{g} può essere eseguito passo passo: lo si calcola prima per la soluzione ad un solitone, poi si usa la soluzione fisica ad un solitone come soluzione di background e si costruisce la soluzione a due solitoni, si calcola il determinante e si usa la soluzione a due solitoni come soluzione di background per aggiungere un altro solitone, si calcola il determinante e così via⁹. Come già detto, il calcolo della soluzione $\hat{g}^{(f)}$ comporta che anche il coefficiente g_{00} debba essere ricalcolato per ottenere il coefficiente fisico $g_{00}^{(f)}$. In conclusione si ottiene

$$\begin{aligned}\hat{g}^{(f)} &= \frac{\hat{g}}{\alpha^N} \prod_{k=1}^N \lambda_k; \\ g_{00}^{(f)} &= C g_{b00} \alpha^{-\frac{N^2}{2}} \left(\prod_{k=1}^N \lambda_k \right)^{N+1} \left(\prod_{k>l=1}^N \frac{1}{(\lambda_k - \lambda_l)^2} \right) \det(\hat{\Gamma});\end{aligned}\tag{3.30}$$

in cui C è una costante arbitraria da scegliere con segno opportuno in modo da avere il segno corretto per $g_{00}^{(f)}$; g_{b00} è la soluzione g_{00} di background corrispondente a \hat{g}_b ; \hat{g} è fornita dalla 3.29

La soluzione ad N solitoni è quindi data sostituendo le 3.30 nell'intervallo spazio-temporale 3.6 e ricordando la 3.29:

$$\begin{aligned}ds^2 &= g_{00}^{(f)}(dt^2 - dz^2) + g_{ij}^{(f)} dx^i dx^j = \\ &= C g_{b00} \alpha^{-\frac{N^2}{2}} \left(\prod_{k=1}^N \lambda_k \right)^{N+1} \left(\prod_{k>l=1}^N \frac{1}{(\lambda_k - \lambda_l)^2} \right) \det(\hat{\Gamma})(dt^2 - dz^2) + \\ &+ \frac{((\hat{g}_b)_{ij} - \sum_{k,l=1}^N \lambda_k^{-1} \lambda_l^{-1} (\hat{\Pi})_{kl} L_i^{(k)} L_j^{(l)})}{\alpha^N} \left(\prod_{k=1}^N \lambda_k \right) dx^i dx^j;\end{aligned}\tag{3.31}$$

in cui, si ricorda, $L_i^{(l)} := m_j^{(l)} (\hat{g}_b)_{ji}$ e $(\hat{\Pi})_{kl} := (\hat{\Gamma}^{-1})_{kl}$ con $(\hat{\Gamma})_{kl} := -m_i^{(k)} m_j^{(l)} (\hat{g}_b)_{ij} (\alpha^2 - \lambda_k \lambda_l)^{-1}$.

3.2 Alcune proprietà dei solitoni gravitazionali

Costruita la soluzione ad N solitoni si vuole ora discutere alcune proprietà interessanti dei solitoni gravitazionali.

Riportiamo esplicitamente la soluzione a $N = 1$ solitoni; con riferimento alle 3.30 abbiamo,

⁹Il calcolo fornisce $\det(\hat{g}) = \alpha^{2N+2} \prod_{k=1}^N \frac{1}{\lambda_k^2}$.

considerando che in questo caso Π e Γ non sono matrici:

$$\begin{aligned} (\hat{g}^{(f1)})_{ij} &= \frac{(\hat{g}_b)_{ij}}{\alpha} \lambda_1 - \left(\frac{(\alpha^2 - \lambda_1^2) L_i L_j \lambda_1}{-\alpha \lambda_1^2 m_i m_j (\hat{g}_b)_{ij}} \right) = \frac{(\hat{g}_b)_{ij}}{\alpha} \lambda_1 + \left(\frac{(\alpha^2 - \lambda_1^2) L_i L_j}{\alpha \lambda_1 m_i m_j (\hat{g}_b)_{ij}} \right), \\ \hat{g}_{00}^{(f1)} &= \tilde{C} g_{b00} \alpha^{-\frac{1}{2}} \lambda_1^2 m_i m_j (\hat{g}_b)_{ij} (\alpha^2 - \lambda_1^2)^{-1}, \end{aligned} \quad (3.32)$$

in cui l'apice $(f1)$ indica la soluzione fisica ad un solitone. La traiettoria del polo λ_1 è data dalle equazioni 3.22 con $k = 1$; la soluzione di queste equazioni è data dalle radici dell'equazione quadratica¹⁰

$$\lambda_1^2 + 2(\beta - w_1)\lambda_1 + \alpha^2, \quad (3.33)$$

in cui w_1 è una costante arbitraria e α e β sono due soluzioni indipendenti dell'equazione 3.8. Le soluzioni della 3.33 sono

$$\begin{aligned} \lambda_1^{(in)} &= -(\beta - w_1) + \sqrt{(\beta - w_1)^2 - \alpha^2} = (w_1 - \beta) \left(1 - \sqrt{1 - \frac{\alpha^2}{(\beta - w_1)^2}} \right) \\ \lambda_1^{(out)} &= -(\beta - w_1) - \sqrt{(\beta - w_1)^2 - \alpha^2} = (w_1 - \beta) \left(1 + \sqrt{1 - \frac{\alpha^2}{(\beta - w_1)^2}} \right), \end{aligned} \quad (3.34)$$

gli apici (in) ed (out) sottolineano che le soluzioni sono dentro o fuori rispetto al cerchio generato da $|\lambda| = \alpha$; nello specifico $|\lambda_1^{(in)}| < \alpha$ e $|\lambda_1^{(out)}| > \alpha$. Nella figura sottostante¹¹ è riportato il caso in cui $\lambda_1^{(in)}$ e $\lambda_1^{(out)}$ sono reali con $w_1 = 3$ e $\alpha = 2$.

¹⁰Per semplicità sarà mostrato solo nel caso di metriche stazionarie assialsimmetriche nel paragrafo 3.3.

¹¹Il grafico è stato realizzato con GeoGebra.

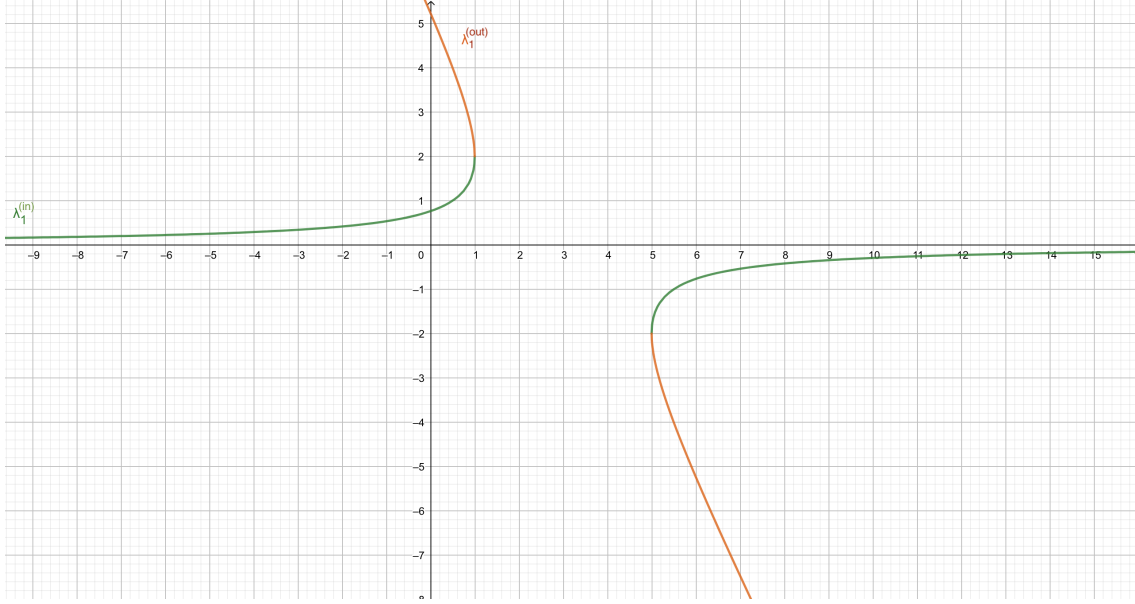


Figura 3.1: Andamento di $\lambda_1^{(in)}$ (linea verde) e $\lambda_1^{(out)}$ (linea arancione) in funzione di β nel caso in cui siano reali, con $w_1 = 3$ e $\alpha = 2$. Si nota che $|\lambda_1^{(in)}|$ è sempre minore di $\alpha = 2$ mentre $|\lambda_1^{(out)}|$ è sempre maggiore di $\alpha = 2$; in generale, $\lambda_1^{(in)}$ è sempre contenuto nella regione $|\lambda| = \alpha$ mentre $\lambda_1^{(out)}$ è sempre esterno a tale regione.

Soffermiamoci sulla soluzione ad un solitone generata da un polo reale: guardando le 3.34 vediamo che le soluzioni, nel caso di polo reale, sono definite solo nella regione $(\beta - w_1)^2 \geq \alpha^2$, tuttavia la soluzione può essere continuata analiticamente nella regione $(\beta - w_1)^2 < \alpha^2$. Nel passaggio tra le due regioni la funzione λ_1 diviene complessa:

$$\lambda_1 = (w_1 - \beta) \left(1 \pm i \sqrt{\frac{\alpha^2}{(\beta - w_1)^2} - 1} \right) \quad (3.35)$$

e poichè i poli complessi della matrice di dressing possono comparire solo a coppie segue che, necessariamente, nella regione $(\beta - w_1)^2 < \alpha^2$ si ha una soluzione a $N = 2$ solitoni generata da due poli complessi coniugati λ_1 e λ_1^* . Il modulo di questi poli è però pari ad α^2 , infatti

$$|\lambda_1| = |\lambda_1^*| = (w_1 - \beta)^2 + (w_1 - \beta)^2 \left(\frac{\alpha^2}{(\beta - w_1)^2} - 1 \right) = \alpha^2, \quad (3.36)$$

e dalla 3.28, ricordando le definizioni di $L_i^{(l)}$, $(\hat{\Pi})_{kl}$ e $(\hat{\Gamma})_{kl}$, segue che gli $n_i^{(k)}$ sono nulli se $|\lambda_k| = \alpha^2$ e quindi la matrice di dressing si riduce all'identità se i poli giacciono sulla circonferenza generata da $|\lambda| = \alpha$. Questo vuol dire che la soluzione a due solitoni si riduce, in realtà, alla soluzione di background; notiamo anche che quando $(\beta - w_1)^2 = \alpha^2$

si ha $|\lambda_1| = \alpha^2$ e ancora la soluzione si riduce alla soluzione di background. Dalle 3.32 vediamo che il coefficiente $g_{00}^{(f1)}$ è singolare quando $|\lambda_1| = \alpha^2$.

Ricapitolando: nella regione $(\beta - w_1)^2 > \alpha^2$ abbiamo la soluzione ad un solitone mentre nella regione $(\beta - w_1)^2 \leq \alpha^2$ la soluzione è quella imperturbata di background; inoltre nella regione definita dalla relazione $(\beta - w_1)^2 = \alpha^2$ la metrica sperimenta una discontinuità dovuta al coefficiente $g_{00}^{(f1)}$; in questo senso i solitoni gravitazionali possono considerarsi come onde di shock¹² gravitazionali. Considerazioni analoghe sono possibili per il caso a N solitoni: ci sono regioni in cui abbiamo la soluzione a N solitoni, regioni in cui abbiamo la soluzione a $N - 1$ solitoni e via discorrendo; inoltre la metrica è discontinua in ogni interfaccia tra le varie regioni. Va però sottolineato che questo è vero solo per soluzioni generate da poli reali; se i poli fossero tutti complessi coniugati a coppie non ci sarebbero regioni di discontinuità e tutto lo spazio-tempo sarebbe perturbato rispetto alla metrica di background.

Una seconda proprietà interessante è la cosiddetta fusione dei poli. Consideriamo la soluzione a $N = 2$ solitoni; supponiamo che le costanti $m_{0i}^{(1)}$ e $m_{0i}^{(2)}$ dipendano, rispettivamente, da w_1 e w_2 e che nel limite $w_2 \rightarrow w_1$ si abbia $m_{0i}^{(2)} \rightarrow m_{0i}^{(1)}$, conseguentemente si ha $\lambda_2 \rightarrow \lambda_1$. È possibile mostrare dalla soluzione delle 3.32 con $N = 2$ che questa non si annulla sotto la procedura di limite appena esposta ma anzi si riduce ad una soluzione ad un solitone corrispondente ad un polo doppio. Questa conclusione è interessante ed è un fenomeno non banale ed inaspettato: siamo partiti considerando solo poli semplici e ci ritroviamo con la possibilità di poli doppi grazie alla fusione dei poli. La stessa analisi si può fare nel caso della soluzione ad N solitoni e della fusione degli N poli che porta alla soluzione ad un solitone corrispondente ad un polo di ordine N . La fusione dei poli può avvenire in modi diversi, ad esempio se la soluzione ha $N = 2n$ solitoni e quindi $2n$ poli è possibile fondere separatamente i poli per formarne due di ordine n , e quindi due soluzioni ad n solitoni.

3.3 Buco nero di Kerr come doppio solitone gravitazionale

In questo paragrafo considereremo una metrica stazionaria assialsimmetrica, che ammette quindi due campi di Killing: uno di tipo spazio ed uno di tipo tempo. In questa sezione si utilizzerà la notazione $(x^0, x^1, x^2, x^3) = (t, \phi, \rho, z)$ per le coordinate. Con considerazioni analoghe a quelle fatte nel paragrafo 3.1 possiamo scrivere la metrica nella forma¹³

$$ds^2 = g_{00}(d\rho^2 + dz^2) + g_{ij}dx^i dx^j, \quad (3.37)$$

¹²Le onde di shock nascono dalla regolarizzazione della soluzione di un certo modello: ad una soluzione continua ma ploidroma si preferisce una soluzione discontinua ma monodroma, questa è l'onda di shock.

¹³Abbiamo posto $g_{22} = g_{33}$, $g_{i2} = g_{i3} = g_{23} = 0$.

in cui, da qui fino alla fine del paragrafo, $i, j = 0, 1$ ed in cui g_{00} e g_{ij} dipendono solo da $x^2 = \rho$ e $x^3 = z$ che sono entrambe variabili di tipo spazio. Per metriche stazionarie del tipo 3.37 si può imporre, senza perdita di generalità, che il blocco 2×2 $(\hat{g})_{ij}$ abbia $\det(\hat{g}) = -\rho^2$. Questa è una scelta leggermente diversa rispetto al caso visto nel paragrafo 3.1, perchè nel caso di metriche non stazionarie il determinante del blocco 2×2 poteva essere di tipo spazio o di tipo tempo, mentre nel caso di metriche stazionarie può essere solo di tipo tempo.

Le equazioni di Einstein nel vuoto per la metrica 3.37 possono risciversi come

$$\begin{aligned} (\rho \hat{g}_{,\rho} \hat{g}^{-1})_{,\rho} + (\rho \hat{g}_{,z} \hat{g}^{-1})_{,z} &= 0, \\ (\ln(g_{00}))_{,\rho} &= -\frac{1}{\rho} + \frac{1}{4\rho}(U^2 - V^2), \quad (\ln(g_{00}))_{,z} = \frac{1}{2\rho}UV; \end{aligned} \quad (3.38)$$

in cui $\hat{U} := \rho \hat{g}_{,\rho} \hat{g}^{-1}$ e $\hat{V} := \rho \hat{g}_{,z} \hat{g}^{-1}$. Con passi analoghi a quelli esposti nel paragrafo 3.1 si ottiene la soluzione ad N solitoni nel caso della metrica 3.37

$$ds^2 = g_{00}^{(f)}(d\rho^2 + dz^2) + g_{ij}^{(f)} dx^i dx^j \quad (3.39)$$

con

$$\begin{aligned} g_{00}^{(f)} &= 16C g_{b00} \rho^{-\frac{N^2}{2}} \left(\prod_{k=1}^N \lambda_k \right)^{N+1} \left(\prod_{k>l=1}^N \frac{1}{(\lambda_k - \lambda_l)^2} \right) \det(\hat{\Gamma}); \\ (\hat{g})_{ij}^{(f)} &= \pm \frac{\hat{g}_{ij}}{\rho^N} \left(\prod_{k=1}^N \lambda_k \right) = \pm \frac{((\hat{g}_b)_{ij} - \sum_{k,l=1}^N (\hat{D})_{kl} \lambda_k^{-1} \lambda_l^{-1} L_i^{(k)} L_j^{(l)})}{\rho^N} \left(\prod_{k=1}^N \lambda_k \right), \end{aligned} \quad (3.40)$$

in cui $(\hat{D})_{kl} := (\hat{\Gamma}^{-1})_{kl}$, $(\hat{\Gamma})_{kl} := m_i^{(k)} (\hat{g}_b)_{ij} m_j^{(l)} (\rho^2 + \lambda_k \lambda_l)^{-1}$, $L_i^{(k)} := m_i^{(k)} (\hat{g}_b)_{ji}$, $m_i^{(k)} = m_{0j}^{(k)} (\psi_b^{-1}(\lambda_k, \rho, z))_{ji}$. La matrice $(\hat{g}_b)_{ij}$ è la soluzione di background e g_{b00} è la soluzione g_{00} corrispondente a $(\hat{g}_b)_{ij}$ data dalle seconde delle 3.38 valutate con $\hat{U}_b := \rho \hat{g}_{b,\rho} \hat{g}_b^{-1}$ e $\hat{V}_b := \rho \hat{g}_{b,z} \hat{g}_b^{-1}$; inoltre $\psi^{-1}(\lambda, \rho, z)$ è l'inverso della matrice generatrice soluzione del sistema¹⁴

$$\left(\partial_z - \frac{2\lambda^2}{\lambda^2 + \rho^2} \partial_\lambda \right) \psi = \frac{\rho \hat{V} - \lambda \hat{U}}{\lambda^2 + \rho^2} \psi, \quad \left(\partial_\rho + \frac{2\lambda\rho}{\lambda^2 + \rho^2} \partial_\lambda \right) \psi = \frac{\rho \hat{V} + \lambda \hat{U}}{\lambda^2 + \rho^2} \psi. \quad (3.41)$$

Inoltre, C è una costante arbitraria ma con segno tale che si abbia $g_{00}^{(f)} \geq 0$; il segno $+$ o $-$ davanti alla seconda delle 3.40 va scelto appropriatamente in modo da avere la giusta segnatura della metrica. Solitoni della forma 3.39 sono detti solitoni stazionari.

Una prima differenza rispetto al caso generale trattato nel paragrafo 3.1 è da ricercare nelle equazioni che descrivono le traiettorie dei poli, che nel caso in esame si scrivono

$$\begin{aligned} \lambda_{k,z} &= \frac{-2\lambda_k^2}{\lambda_k^2 + \rho^2}, \\ \lambda_{k,\rho} &= \frac{2\lambda_k \rho}{\lambda_k^2 + \rho^2}; \end{aligned} \quad (3.42)$$

¹⁴Per ottenere la matrice generatrice di background basta sostituire le matrici \hat{U} e \hat{V} di background, ossia $\hat{U}_b := \rho \hat{g}_{b,\rho} \hat{g}_b^{-1}$ e $\hat{V}_b := \rho \hat{g}_{b,z} \hat{g}_b^{-1}$.

la soluzione di queste equazioni è data dalle soluzioni dell'equazione quadratica (verificato in **Appendice B**)

$$\lambda_k^2 + 2(z - w_k)\lambda_k - \rho^2 = 0, \quad (3.43)$$

in cui le w_k sono costanti arbitrarie complesse. Le soluzioni dell'equazione 3.43 sono

$$\lambda_k = (w_k - z) \pm \sqrt{(w_k - z)^2 + \rho^2}, \quad (3.44)$$

come si vede la radice è sempre positiva per poli reali (w_k reali) e quindi la soluzione solitonica, in questo caso, non sperimenterà discontinuità ed essa sarà presente in tutto lo spazio-tempo, al contrario di quanto visto nel paragrafo 3.2.

La seconda differenza deriva dalla richiesta che sia soddisfatta la condizione $\det(\hat{g}) = -\rho^2$ necessaria per avere una soluzione fisica. Come discusso nel paragrafo 3.1, per ottenere la soluzione fisica, $\hat{g}^{(f)}$, bisogna calcolare il determinante della soluzione \hat{g} ; il calcolo porta a

$$\det(\hat{g}) = (-1)^N \rho^{2N} \left(\prod_{k=1}^N \frac{1}{\lambda_k^2} \right) \det(\hat{g}_b). \quad (3.45)$$

La 3.45 mostra che se la soluzione di background è tale che $\det(\hat{g}_b) = -\rho^2$ allora la soluzione deve essere necessariamente ad un numero pari di solitoni, $N = 2n$, altrimenti il segno del determinante di \hat{g} cambierebbe e questo porterebbe ad una metrica non fisica.

Veniamo ora al buco nero di Kerr. Come detto poco fa, nel caso di metriche stazionarie assialsimmetriche la soluzione più semplice è quella a $N = 2$ solitoni. Scegliamo come metrica di background la metrica piatta in coordinate cilindriche

$$ds^2 = -dt^2 + \rho^2 d\phi^2 + d\rho^2 + dz^2, \quad (3.46)$$

confrontando con la 3.37 vediamo che $g_{b00} = 1$ e che $\hat{g}_b = \text{diag}(-1, \rho^2)$ (che soddisfa in maniera banale $\det(\hat{g}_b) = -\rho^2$). Le matrici \hat{V}_b e \hat{U}_b sono date da

$$\begin{aligned} \hat{V}_b &:= \rho \hat{g}_{b,z} \hat{g}_b^{-1} = 0, \\ \hat{U}_b &:= \rho \hat{g}_{b,\rho} \hat{g}_b^{-1} = \rho \begin{pmatrix} 0 & 0 \\ 0 & 2\rho \end{pmatrix} \begin{pmatrix} -1 & 0 \\ 0 & \frac{1}{\rho^2} \end{pmatrix} = \begin{pmatrix} 0 & 0 \\ 0 & 2 \end{pmatrix}; \end{aligned} \quad (3.47)$$

che utilizzate nelle 3.41 ci permettono di calcolare la matrice generatrice di background tramite le

$$\begin{aligned} \left(\partial_z - \frac{2\lambda^2}{\lambda^2 + \rho^2} \partial_\lambda \right) \begin{pmatrix} A & B \\ C & D \end{pmatrix} &= \frac{-\lambda}{\lambda^2 + \rho^2} \begin{pmatrix} 0 & 0 \\ 0 & 2 \end{pmatrix} \begin{pmatrix} A & B \\ C & D \end{pmatrix}; \\ \left(\partial_\rho + \frac{2\lambda\rho}{\lambda^2 + \rho^2} \partial_\lambda \right) \begin{pmatrix} A & B \\ C & D \end{pmatrix} &= \frac{\lambda}{\lambda^2 + \rho^2} \begin{pmatrix} 0 & 0 \\ 0 & 2 \end{pmatrix} \begin{pmatrix} A & B \\ C & D \end{pmatrix}, \end{aligned} \quad (3.48)$$

in cui si è posto $\psi_b = \begin{pmatrix} A & B \\ C & D \end{pmatrix}$. Esplicitando tutte le equazioni si ottiene la soluzione

$$\psi_b = \begin{pmatrix} -1 & 0 \\ 0 & \rho^2 - 2z\lambda - \lambda^2 \end{pmatrix}; \quad (3.49)$$

dalla matrice ψ_b , ricordando le definizioni di $m_i^{(k)}$, di $L_i^{(k)}$ e di $(\hat{\Gamma})_{kl}$ e facendo uso della 3.43, la quale ci fornisce $\lambda^2 + 2z\lambda - \rho^2 = 2w_k\lambda_k$, otteniamo¹⁵

$$m_0^{(k)} = m_{0j}^{(k)}(\psi_b^{-1})_{j0} = m_{00}^{(k)}(\psi_b^{-1}(\lambda_k, \rho, z))_{00} + m_{01}^{(k)}(\psi_b^{-1}(\lambda_k, \rho, z))_{01} = -m_{00}^{(k)} := C_0^{(k)};$$

$$\begin{aligned} m_1^{(k)} &= m_{0j}^{(k)}(\psi_b^{-1})_{j1} = m_{00}^{(k)}(\psi_b^{-1}(\lambda_k, \rho, z))_{01} + m_{01}^{(k)}(\psi_b^{-1}(\lambda_k, \rho, z))_{11} = \\ &= \frac{m_{01}^{(k)}}{\rho^2 - 2z\lambda_k - \lambda_k^2} = \frac{m_{01}^{(k)}}{-2w_k\lambda_k} := C_1^{(k)}\lambda_k^{-1}; \end{aligned}$$

$$L_0^{(k)} := m_j^{(k)}(\hat{g}_b)_{j0} = m_0^{(k)}(\hat{g}_b)_{00} + m_1^{(k)}(\hat{g}_b)_{10} = -m_0^{(k)} = -C_0^{(k)};$$

$$L_1^{(k)} := m_j^{(k)}(\hat{g}_b)_{j1} = m_0^{(k)}(\hat{g}_b)_{01} + m_1^{(k)}(\hat{g}_b)_{11} = m_1^{(k)}\rho^2 = C_1^{(k)}\lambda_k^{-1}\rho^2;$$

$$\begin{aligned} (\hat{\Gamma})_{kl} &:= m_i^{(k)}(\hat{g}_b)_{ij}m_j^{(l)}(\rho^2 + \lambda_k\lambda_l)^{-1} = \\ &= m_0^{(k)}(\hat{g}_b)_{00}m_0^{(l)}(\rho^2 + \lambda_k\lambda_l)^{-1} + m_1^{(k)}(\hat{g}_b)_{11}m_1^{(l)}(\rho^2 + \lambda_k\lambda_l)^{-1} = \\ &= (\rho^2 + \lambda_k\lambda_l)^{-1}(-C_0^{(k)}C_0^{(l)} + C_1^{(k)}\lambda_k^{-1}C_1^{(l)}\lambda_l^{-1}\rho^2). \end{aligned} \tag{3.50}$$

Le 3.50 sono tutto ciò di cui necessitiamo assieme alla 3.43, per i valori dei poli, e alle 3.40, per le quantità fisiche, per costruire la soluzione ad $N = 2n$ solitoni stazionari con metrica di background piatta.

Consideriamo il caso $N = 2$ e scriviamo le due costanti w_1 e w_2 dei due poli come

$$w_1 = \sigma_1 + \sigma_2, \quad w_2 = \sigma_1 - \sigma_2; \tag{3.51}$$

σ_1 è presa sempre reale mentre σ_2 può essere reale (i poli saranno reali) o immaginaria (i poli saranno complessi coniugati). Introduciamo due nuove variabili θ e r definite dalle relazioni¹⁶

$$\rho = \sin(\theta)\sqrt{(r-m)^2 - \sigma_2^2}, \quad z = \sigma_1 + (r-m)\cos(\theta), \tag{3.52}$$

in cui m è una costante arbitraria. Inserendo le 3.51 nella 3.43, utilizzando le 3.52, otteniamo

$$\begin{aligned} \lambda_1 &= 2(r-m+\sigma_2)\sin^2(\theta/2), \\ \lambda_2 &= 2(r-m-\sigma_2)\sin^2(\theta/2); \end{aligned} \tag{3.53}$$

¹⁵Si ricordi anche che $\hat{g}_b = \text{diag}(-1, \rho^2)$.

¹⁶La radice è definita in maniera tale che nel limite $r \rightarrow \infty$ il termine dominante restituisca le consuete trasformazioni tra coordinate sferiche e cilindriche.

in cui è stato scelto lo stesso segno per i due poli. Senza perdita di generalità si può porre

$$C_1^{(1)}C_0^{(2)} - C_0^{(1)}C_1^{(2)} = \sigma_2, \quad C_1^{(1)}C_0^{(2)} + C_0^{(1)}C_1^{(2)} = -m, \quad (3.54)$$

e definire le nuove costanti arbitrarie

$$-b := C_1^{(1)}C_1^{(2)} - C_0^{(1)}C_0^{(2)}, \quad a := C_1^{(1)}C_1^{(2)} + C_0^{(1)}C_0^{(2)}; \quad (3.55)$$

in cui $C_0^{(1)}$, $C_0^{(2)}$, $C_1^{(1)}$ e $C_1^{(2)}$ sono le costanti che appaiono nelle prime due equazioni delle 3.50; mettendo assieme le 3.54 e le 3.55 si ottiene

$$\sigma_2^2 = m^2 - a^2 + b^2. \quad (3.56)$$

Dalle 3.40 grazie alle 3.50 possiamo calcolare le quantità fisiche $(\hat{g})_{ij}^{(f)}$ e $g_{00}^{(f)}$ che, sostituite nell'elemento di linea 3.37 espresso nelle coordinate (t, ϕ, θ, r) , permettono di ottenere

$$\begin{aligned} ds^2 = & -C\omega\Delta^{-1}dr^2 - C\omega d\theta^2 - \omega^{-1}[\Delta - a^2\sin^2(\theta)][dt + 2ad\phi]^2 + \\ & + \omega^{-1}[4\Delta b\cos(\theta) - 4a\sin^2(\theta)[mr + b^2]][dt + 2ad\phi]d\phi + \\ & - \omega^{-1}[\Delta[asin^2(\theta) + 2b\cos(\theta)]^2 - \sin^2(\theta)[r^2 + b^2 + a^2]^2]d\phi^2, \end{aligned} \quad (3.57)$$

in cui si sono definite le quantità $\omega := r^2 + [b - a\cos(\theta)]^2$ e $\Delta := r^2 - 2mr + a^2 - b^2$. Ponendo $b = 0$, ridefinendo la coordinata temporale come $t := t + 2a\phi$ e ponendo $C = -1$ si ha

$$\begin{aligned} ds^2 = & \omega\Delta^{-1}dr^2 + \omega d\theta^2 - \omega^{-1}[\Delta - a^2\sin^2(\theta)]dt^2 - 4mra\omega^{-1}\sin^2(\theta)dtd\phi + \\ & - \omega^{-1}[\Delta a^2\sin^4(\theta) - \sin^2(\theta)[r^2 + a^2]^2]d\phi^2, \end{aligned} \quad (3.58)$$

in cui, ora, $\omega = r^2 + a^2\cos^2(\theta)$ e $\Delta = r^2 - 2mr + a^2$. Per convenienza riscriviamo la 3.58 come

$$ds^2 = -dt^2 + \omega\left(\frac{1}{\Delta}dr^2 + d\theta^2\right) + (r^2 + a^2)\sin^2(\theta)d\phi^2 + \frac{2mr}{\omega}[asin^2(\theta)d\phi - dt]^2; \quad (3.59)$$

si nota immediatamente la presenza di due possibili singolarità poste in $\Delta = 0$ e $\omega = 0$. La singolarità in $\omega = 0$ è una singolarità gravitazionale¹⁷ e si dimostra essere una singolarità ad anello, mentre la singolarità in $\Delta = 0$ esiste solo se¹⁸ $m^2 \geq a^2$; in questo caso si può mostrare che, passando alle coordinate di Kerr, la singolarità scompare e si tratta quindi di una singolarità di coordinate che corrisponde ad un orizzonte¹⁹. Per il principio di censura cosmica di R. Penrose una singolarità gravitazionale deve essere nascosta da un orizzonte degli eventi e questo ci spinge a scegliere $m^2 \geq a^2$ e quindi, con riferimento alla

¹⁷La singolarità è posta in $r = 0$, $\theta = \frac{\pi}{2}$.

¹⁸Questo perchè l'equazione $\Delta = 0$ ammette soluzioni reali solo se il discriminante è non negativo, ossia solo se $4m^2 - 4a^2 \geq 0 \Rightarrow m^2 \geq a^2$.

¹⁹In realtà poichè l'equazione è quadratica ci sono due orizzonti degli eventi, uno interno ed uno esterno.

3.56 con $b = 0$, si deve avere σ_2 reale; la conseguenza è che, dalle 3.51, i due poli della matrice di dressing devono essere reali. Con questa scelta dei poli la 3.59 è la metrica di Kerr nelle coordinate di Boyer-Lindquist²⁰ che descrive un buco nero rotante scarico con rapporto tra massa e momento angolare pari ad a . Se questo rapporto fosse nullo vorrebbe dire che il buco nero non ruota, infatti per $a = 0$ si ottiene la metrica di Schwarzschild. I buchi neri di Schwarzschild e Kerr sono solitoni stazionari a due poli reali con metrica di background piatta; al momento, però, non è del tutto chiaro il significato profondo di questa conclusione.

²⁰Sono una generalizzazione delle coordinate sferiche. Il passaggio da una terna cartesiana (x^1, x^2, x^3) ad una di Boyer-Lindquist (r, θ, ϕ) è dato da $x^1 = \sqrt{r^2 + a^2} \sin(\theta) \cos(\phi)$, $x^2 = \sqrt{r^2 + a^2} \sin(\theta) \sin(\phi)$, $x^3 = r \cos(\theta)$.



Appendice A

Espansione multiscala per la KdV

L'espansione multiscala generalizza la ricerca di una soluzione tramite espansione in serie di potenze andando a considerare delle variabili lente, ad esempio $t_n = \epsilon^n t$ con $\epsilon \ll 1$. Il motivo risiede nel fatto che la semplice espansione in serie di potenze cessa di essere asintotica, per via degli effetti di non linearità che generano dei termini di risonanza, ad un tempo dell'ordine $t = O(\epsilon^{-1})$. Il vantaggio di aver definito delle variabili lente è che ci consentono di cancellare i termini risonanti che comunque emergono. La scelta e definizione delle corrette variabili lente ci viene consigliata dalla teoria linearizzata assieme alle ipotesi fisiche fatte sul sistema. In questa appendice applicheremo l'espansione multiscala per derivare la KdV.

Consideriamo la classe di PDE non lineari

$$u_{,t} + c(u)u_{,z} + A(u)u_{,z,z,z} + B(u)u_{,z}u_{,z,z} + C(u)u_{,z}^3 = 0, \quad (\text{A.1})$$

con l'ipotesi di piccole ampiezze possiamo cercare una soluzione come serie di potenze, $u = \sum_n \epsilon^n u_n$ con $\epsilon \ll 1$, ottenendo al primo ordine in ϵ l'equazione lineare

$$u_{1,t} + c(u_0)u_{1,z} + F(u_0)u_{1,z,z,z} = 0 \quad (\text{A.2})$$

che appartiene alla classe delle equazioni dispersive¹ con relazione di dispersione pari a $\omega(k) = c(u_0)k - F(u_0)k^3$. Facendo l'ulteriore ipotesi fisica di onde lunghe si ha $\omega(k) \simeq c(u_0)k$ e ci troviamo nel regime debolmente dispersivo; poniamo quindi $k = \epsilon^\alpha q$, allora

$$\theta = kz - \omega(k)t = \epsilon^\alpha q(z - c(u_0)t) + F(u_0)\epsilon^{3\alpha}q^3t \quad (\text{A.3})$$

che suggerisce la definizione delle seguenti variabili lente $z_1 = \epsilon^\alpha z$, $t_1 = \epsilon^\alpha t$ e $t_3 = \epsilon^{3\alpha}t$; il che implica $\partial_z \rightarrow \epsilon^\alpha \partial_{z_1}$ e $\partial_t \rightarrow \epsilon^\alpha \partial_{t_1} + \epsilon^{3\alpha} \partial_{t_3}$. All'ordine $O(\epsilon^{1+\alpha})$ abbiamo

$$\begin{aligned} & (\epsilon^\alpha \partial_{t_1} + \epsilon^{3\alpha} \partial_{t_3})(u_0 + \epsilon u_1 + \dots) + c(u_0)\epsilon^\alpha \partial_{z_1}(u_0 + \epsilon u_1 + \dots) + \\ & + F(u_0)\epsilon^{3\alpha} \partial_{z_1} \partial_{z_1} \partial_{z_1}(u_0 + \epsilon u_1 + \dots) \Rightarrow u_{,t_1} + c(u_0)u_{1,z_1}, \end{aligned} \quad (\text{A.4})$$

¹Sono quelle equazioni differenziali che ammettono soluzioni della forma $Ae^{i\theta} = Ae^{i(\mathbf{k}\cdot\mathbf{z} - \omega(\mathbf{k})t)}$ con $\omega(\mathbf{k}) \in \mathbf{R}$ se $\mathbf{k} \in \mathbf{R}$ e tale che $\nabla^2 \omega(\mathbf{k}) \neq 0$. La funzione $\omega(\mathbf{k})$ è detta relazione di dispersione.

ossia l'equazione di avvezione che descrive un profilo rigido con velocità $c(u_0)$ e la soluzione è data da $u(z_1 - c(u_0)t_1, t_3)$. Ad ordini superiori abbiamo contributi da ordini, in principio, diversi: $O(\epsilon^{2+\alpha})$ e $O(\epsilon^{1+3\alpha})$; tuttavia la natura favorisce le situazioni in cui ad un certo ordine il numero di termini massimo è bilanciato². Seguendo questo principio abbiamo

$$2 + \alpha = 1 + 3\alpha \Rightarrow \alpha = \frac{1}{2}$$

e quindi il prossimo ordine è $O(\epsilon^{\frac{5}{2}})$, ottenendo

$$u_{2,t_1} + c(u_0)u_{2,z_1} + \underbrace{u_{1,t_3} + c'(u_0)u_1u_{1,z_1} + F(u_0)u_{1,z_1,z_1,z_1}}_{=h(z_1-c(u_0)t_1,t_3)} = 0 \quad (\text{A.5})$$

ma poichè l'addendo $h(z_1 - c(u_0)t_1, t_3)$ è un termine risonante dobbiamo imporre che

$$u_{1,t_3} + c'(u_0)u_1u_{1,z_1} + F(u_0)u_{1,z_1,z_1,z_1} = 0; \quad (\text{A.6})$$

la A.6 è l'equazione KdV e fissa la dipendenza dalla variabile t_3 , il che ci è permesso solo perchè abbiamo definito delle variabili lente ed usato l'espansione multiscala; se non avessimo fatto questo, il termine risonante avrebbe distrutto la serie di potenze asintotica. In conclusione la KdV è l'equazione modello nella descrizione di sistemi debolmente non lineari e debolmente dispersivi nel limite di onde lunghe.

²Questo principio è detto del massimo bilancio.

Appendice B

Verifica soluzioni 3.42

Consideriamo la seconda delle 3.42 e, sostituendo la soluzione 3.44, si dovrebbe avere

$$\begin{aligned} \frac{\rho}{\pm\sqrt{(w_k - z)^2 + \rho^2}} &= \frac{2[(w_k - z) \pm \sqrt{(w_k - z)^2 + \rho^2}]\rho}{-2(z - w_k)[(w_k - z) \pm \sqrt{(w_k - z)^2 + \rho^2}] + 2\rho^2} \Rightarrow \\ &\Rightarrow (w_k - z)[(w_k - z) \pm \sqrt{(w_k - z)^2 + \rho^2}] + \rho^2 = \\ &= [(w_k - z) \pm \sqrt{(w_k - z)^2 + \rho^2}][\pm\sqrt{(w_k - z)^2 + \rho^2}] \Rightarrow \\ &\Rightarrow (w_k - z)^2 \pm (w_k - z)\sqrt{(w_k - z)^2 + \rho^2} + \rho^2 = \\ &= \pm(w_k - z)\sqrt{(w_k - z)^2 + \rho^2} + (w_k - z)^2 + \rho^2 \Rightarrow 0 = 0 \end{aligned} \tag{B.1}$$

e la verifica è conclusa. Per la seconda delle 3.42 il procedimento è analogo.



Bibliografia

- [1] G.A. Alekseev. N soliton solution oh Einstein-Maxwell equations. Journal of experimental end theoretical physics Letters, vol 32, 1980.
- [2] Gardner Greene Miura Kruskal. Method for solving the KdV equation. American physical society Physical Review Letter, vol.19 n.19, 1967.
- [3] D. Maison. Are the stationary, axially symmetric Einstein equations completely integrable? Physical Review Letter vol.41, 1978.
- [4] Onrej Hudàk Matej Hudàk Jana Tothova. Inverse Scattering Method I. Methodological part with an example: soliton solution of the sine-Gordon equation. <https://arxiv.org/pdf/1803.08261>. Kosice, Slovacchia: arxiv, 2018.
- [5] Kimiaki Konno Miki Wadati Heiji Sanuki. Relationships among Inverse Method, Backlund Transformation and an Infinite Number of Conservation Laws. Tokyo, Giappone: Progress of theoretical physics, vol 53, No.2, 1975.
- [6] Paul Sutcliffe Nicolas Manton. Topological solitons. Capitolo 1. Cambridge, Gran Bretagna: Cambridge monographs on mathematical physics, 2004.
- [7] Paolo Maria Santini. Non linear waves and solitons. Capitoli 4,5,6. Roma, Italia, 2020.
- [8] A.B. Shabat V.E. Zakharov.Exact theory of two-dimensional self-focusing and one-dimensional self modulation of waves in non linear media. Journal of experimental end theoretical physics, vol.34, n.1, 1972.
- [9] A Belinski V.E. Zakharov. Journal of experimental end theoretical physics, vol.50, 1979.
- [10] V.A Belinski V.E. Zakharov. Integration of the Einstein equation by means of the inverse scattering problem technique and construction of exact solitons solutions. Journal of experimental e theoretical physics, vol.48, 1978.
- [11] Enric Verdaguer Vladimir Belinski. Gravitational solitons. Capitoli 1,2,8. Cambridge, Gran Bretagna: Cambridge monographs on mathematical physics, 2004.